

UNIVERSIDADE FEDERAL DE MATO GROSSO  
CURSO DE ENGENHARIA DE COMPUTAÇÃO

Bruno Fernandes de Lima Santos

**Relatório de atividade prática 5:**  
**Classificação de imagens com redes neurais artificiais**

Cuiabá, 2017

Bruno Fernandes de Lima Santos

**Relatório de atividade prática 5:**  
**Classificação de números com redes neurais artificiais**

Relatório técnico referente à atividade prática de número 5, da disciplina de Inteligência Artificial, curso de Engenharia de Computação, na Universidade Federal do Mato Grosso.

Prof. Dr. Raoni F. S. Teixeira

Cuiabá, 2017

## **RESUMO**

O documento apresenta.

Palavras-chave: Rede. Redes. Neurais. Backpropagation. Custo.

## SUMÁRIO

<b>1</b>	<b>INTRODUÇÃO.....</b>	<b>1</b>
<b>2</b>	<b>IMPLEMENTAÇÃO E ARQUITETURA.....</b>	<b>2</b>
<b>3</b>	<b>EXPERIMENTOS UTILIZANDO A REDE NEURAL.....</b>	<b>3</b>
3.1	Experimento 1: Testando implementação da rede.....	3
3.1.1	Parte I: Função de custo J.....	3
3.1.2	Parte II: Obtenção do grad J via Backpropagation.....	3
3.2	Experimento 2: Treinamento da rede.....	3
3.3	Experimento 3: Treinamento e teste de acurácia.....	3
<b>4</b>	<b>RESULTADOS E DISCUSSÃO.....</b>	<b>4</b>
4.1	Experimento 1: Testando implementação da rede.....	4
4.1.1	Parte I: Função de custo J.....	4
4.1.2	Parte II: Obtenção do grad J via Backpropagation.....	4
4.2	Experimento 2: Treinamento da rede.....	4
4.3	Experimento 3: Treinamento e teste da rede com validação cruzada.....	4
<b>5</b>	<b>CONCLUSÃO.....</b>	<b>5</b>

# 1 INTRODUÇÃO

Redes neurais artificiais (ou, abreviado, RNAs) são um tipo de classificador paramétrico não-linear, isto é, tratam de problemas de classificação onde os dados não necessariamente são linearmente separáveis. Atualmente são o tipo de classificador mais utilizados no mundo, sendo amplamente utilizadas na constituição de modelos de classificação multiclasse (não-binário).

A problemática deste trabalho é o desenvolvimento, treinamento e teste de uma rede neural artificial capaz de analisar dígitos manuscritos, armazenados em pequenas imagens de dimensão  $20 \times 20$  pixels, e mapeá-los corretamente ao seu respectivo valor numérico. Por exemplo, na Figura 1.1 a RNA elaborada deve classificar tal imagem como o dígito “6”.

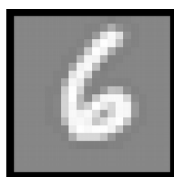


Figura 1.1: Exemplo de dígito manuscrito classificado pela RNA.

A base de dados contendo tais imagens, como as exibidas nas Figura 1.1 e Figura 1.2, é uma pequena amostra da base de dados do MNIST<sup>1</sup> de dígitos manuscrito. Ao todo 5000 imagens são utilizadas para treinamento e teste da rede neural desenvolvida neste experimento.

Naturalmente, como em qualquer modelo de classificação, erros ocorrerão. Sendo assim, o objetivo aqui é treinar a rede tal que a mesma possua uma acurácia de classificação relativamente alta (considere como alta uma acurácia superior a 90%). Mais detalhes sobre o treinamento da rede e os métodos de otimização utilizados estão contidos na seção 2.

---

<sup>1</sup> MNIST. Disponível em: <http://yann.lecun.com/exdb/mnist/>. Acesso em: 11 abr 2017.



Figura 1.2: Cem imagens de exemplo de dígitos manuscritos.

## 2 IMPLEMENTAÇÃO E ARQUITETURA

A arquitetura da RNA aqui implementada constitui-se de três camadas e, conseqüentemente, tem-se duas matrizes de parâmetros entre as camadas. Sejam  $A^{(l)}$  a matriz que denota os valores de saída da  $l$ -ésima camada e  $\Theta^{(l)}$  a matriz dos parâmetros da rede, e que faz a conversão de valores entre as camadas  $l$  e  $l + 1$ . A camada de entrada  $A^{(1)} = X$  recebe cada um dos pixels de uma determinada imagem mais o valor de viés 1, totalizando 401 valores de entrada, isto é,  $X = (1, x_1, x_2, \dots, x_{400})$  é o vetor contendo os valores da entrada. A segunda camada  $A^{(2)}$  possui 25 unidades mais o viés 1, e recebe os dados “filtrados” da camada de entrada através da multiplicação com a matriz de parâmetros  $\Theta^{(1)} \in \mathbb{R}^{401 \times 26}$ . A terceira e camada final da rede,  $A^{(3)}$ , possui 10 unidades (cada uma representando um dígito na faixa de 0 a 9) e recebe os dados da camada anterior pelo parâmetro  $\Theta^{(2)} \in \mathbb{R}^{26 \times 10}$ . A tabela a seguir resume a arquitetura utilizada na implementação desta RNA.

Componente	Notação(ões)	Dimensão
Camada de entrada	$A^{(1)}, X$	$401 \times 1$
Camada intermediária	$A^{(2)}$	$26 \times 1$
Camada final	$A^{(3)}, h_{\Theta}$	$10 \times 1$
Parâmetros de pesos 1	$\Theta^{(1)}$	$401 \times 26$
Parâmetros de pesos 2	$\Theta^{(2)}$	$26 \times 10$

Tabela 1: Arquitetura da RNA.

Note que a entrada é um vetor de 401 unidades e a saída da rede é um outro vetor de 10 unidades. Com isto é possível receber como entrada uma amostra de imagens em formato matricial  $X \in \mathbb{R}^{401 \times N}$ , onde  $N$  é o número de imagens da amostra (uma imagem em cada vetor/coluna da matriz). Assim, a rede pode processar de uma vez uma amostra contendo  $N$  imagens e devolver uma matriz  $h_{\Theta} \in \mathbb{R}^{10 \times N}$  contendo as respectivas  $N$  respostas. Conseqüentemente, a dimensão da camada intermediária também muda, sendo  $26 \times N$ .

## 2.1 Função de limiar (threshold) e predição (predict)

Uma função de *soft threshold* foi utilizada na saída de cada neurônio da rede. Dentre algumas opções de funções que realizam *soft threshold*, foi utilizada a função sigmoide  $s$ , definida como:

$$s(Z) = \left\{ \frac{1}{1 + e^{-z_{i,j}}} \right\}_{i,j}, \forall z_{i,j} \in Z \quad (2.1)$$

Observe pela notação acima que, caso  $Z$  seja uma matriz, a função sigmoide é aplicada em cada componente da matriz, logo,  $\dim(s(Z)) = \dim(Z)$ .

## 2.2 Função de custo J

Um componente essencial em uma RNA é sua função de custo, isto é, a função que recebe o parâmetro  $\Theta$  da rede e calcula o erro do modelo. A seguir tem-se a definição de uma função de custo  $J$  com regularização.

$$J(\Theta^{(1)}, \Theta^{(2)}) = (C + R)(\Theta^{(1)}, \Theta^{(2)}) \quad (2.2)$$

Onde  $C$  é o custo bruto da rede e  $R$  é a regularização da rede (prevenindo sobreajuste, ou *overfitting*, dos dados). Ambos são definidos como:

$$C(\Theta^{(1)}, \Theta^{(2)}) = \frac{1}{m} \sum_{i=1}^m \sum_{k=1}^K (-y_i^k \log(h_{\Theta}(x_i)_k) - (1 - y_i^k) \log(1 - h_{\Theta}(x_i)_k)) \quad (2.3)$$

$$R(\Theta^{(1)}, \Theta^{(2)}) = \frac{\lambda}{2m} \left( \sum_{i=1}^{25} \sum_{j=1}^{400} (\theta_{i,j}^{(1)})^2 + \sum_{i=1}^{10} \sum_{j=1}^{25} (\theta_{i,j}^{(2)})^2 \right), \forall \theta_{i,j}^{(l)} \in \Theta^{(l)} \quad (2.4)$$

Um dos objetivos deste experimento foi implementar a mesma função acima no MATLAB.



## 2.3 Vetor gradiente de J

O outro objetivo aqui foi obter, também em MATLAB, o vetor gradiente do custo  $\nabla J$ , necessário para a otimização da função de custo. O algoritmo necessário para obtenção do vetor gradiente é o algoritmo Backpropagation.

### **3 EXPERIMENTOS UTILIZANDO A REDE NEURAL**

Texto exemplo.

#### **3.1 Experimento 1: Testando implementação da rede**

##### **3.1.1 Parte I: Função de custo J**

##### **3.1.2 Parte II: Obtenção do grad J via Backpropagation**

#### **3.2 Experimento 2: Treinamento da rede**

#### **3.3 Experimento 3: Treinamento e teste de acurácia**

## **4 RESULTADOS E DISCUSSÃO**

### **4.1 Experimento 1: Testando implementação da rede**

#### **4.1.1 Parte I: Função de custo J**

#### **4.1.2 Parte II: Obtenção do grad J via Backpropagation**

### **4.2 Experimento 2: Treinamento da rede**

### **4.3 Experimento 3: Treinamento e teste da rede com validação cruzada**

## **5 CONCLUSÃO**